

## 13 Přílohy



Příloha 1 Místo, kde byl vytyčen podélný transekt, foto: J. Horáčková.



Příloha 2 Lokalita příčného transektu, umístění kontinuálních sond do dna, zdroj: vlastní fotografie.





Příloha 3 Odběr vzorku hyporeálové vody za využití stříkačky, flexibilní hadičky a PVC trubičky, foto: O. Simon.



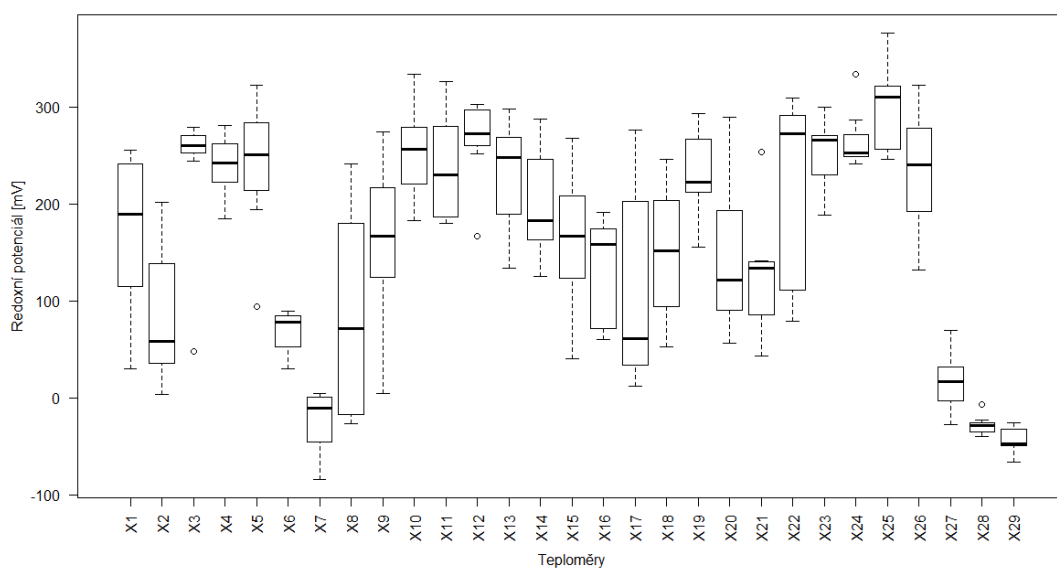
Příloha 4 Příklad jedné sady teploměrů umístěné ve dně, vlastní fotografie.



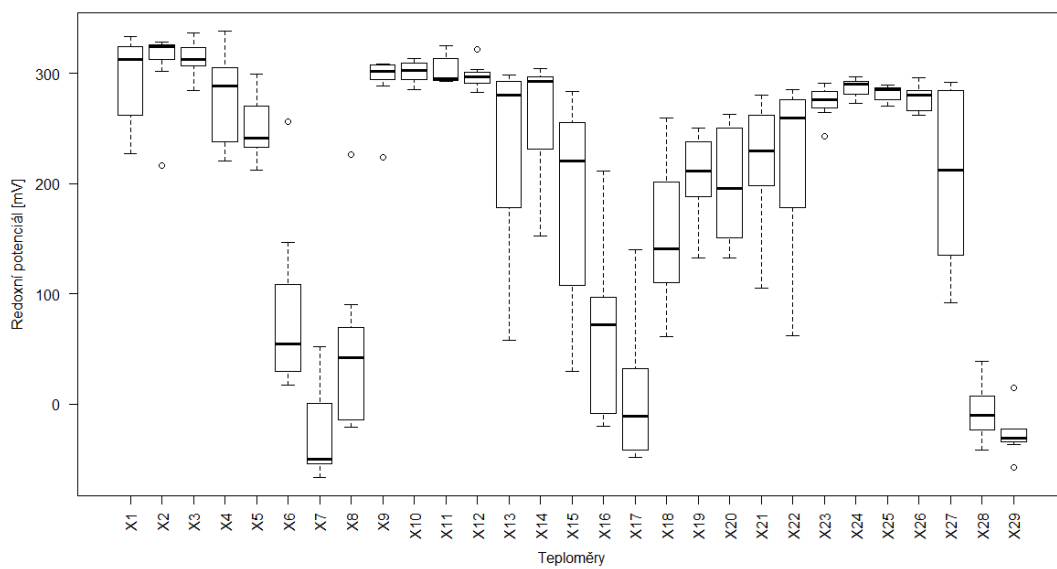
Příloha 5 Příklad kotvícího hřebíku z velké části pokrytého rzi, vlastní fotografie.



Příloha 6 Příklad sady teploměrů, kde došlo k vyhrabání teploměru z hloubky 3 cm, vlastní fotografie.



Příloha 7 Krabicové grafy redoxního potenciálu měřeného 26.-27.10.2018.

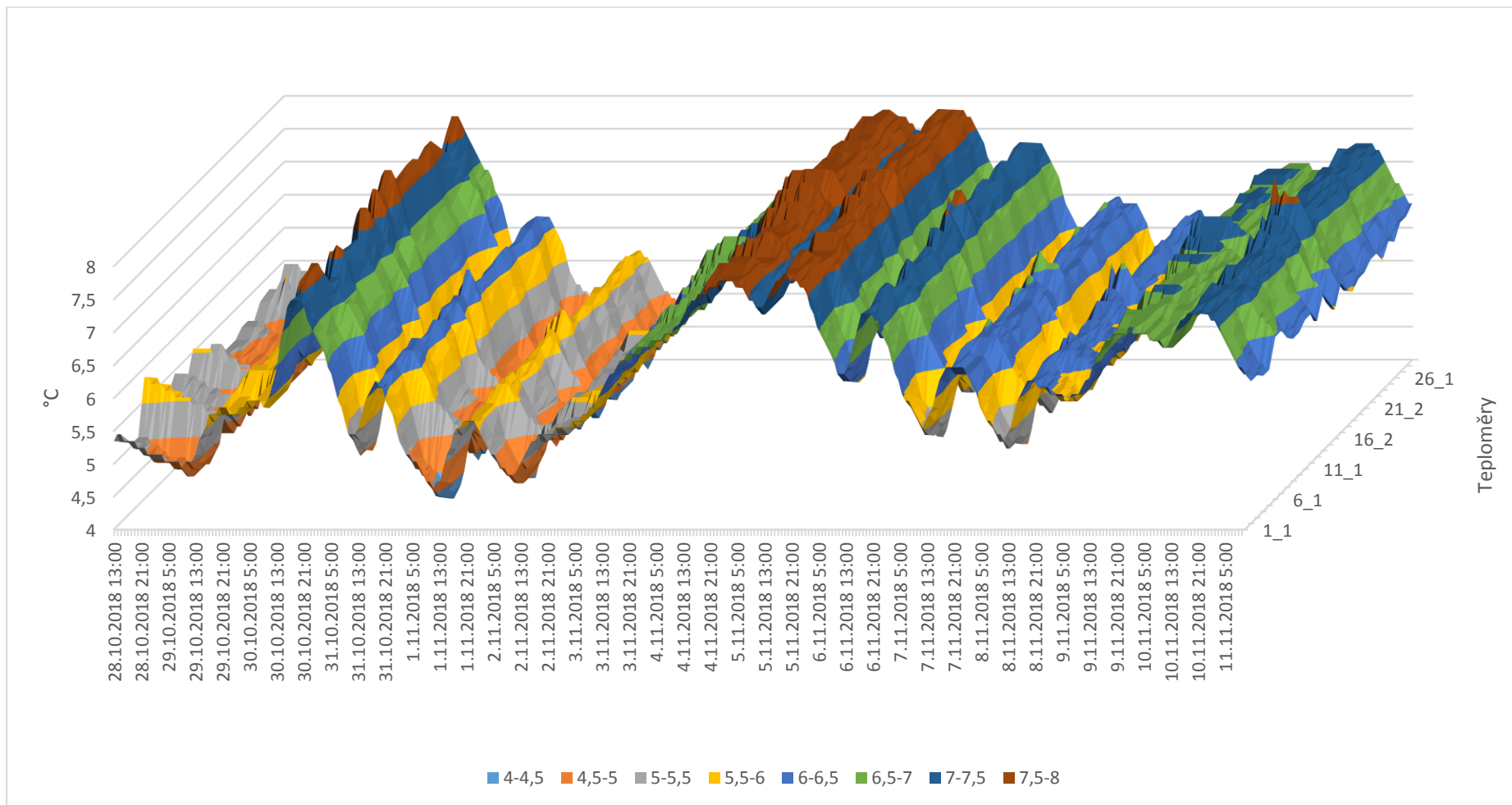


Příloha 8 Krabicové grafy redoxního potenciálu měřeného 16.-17.11.2018.

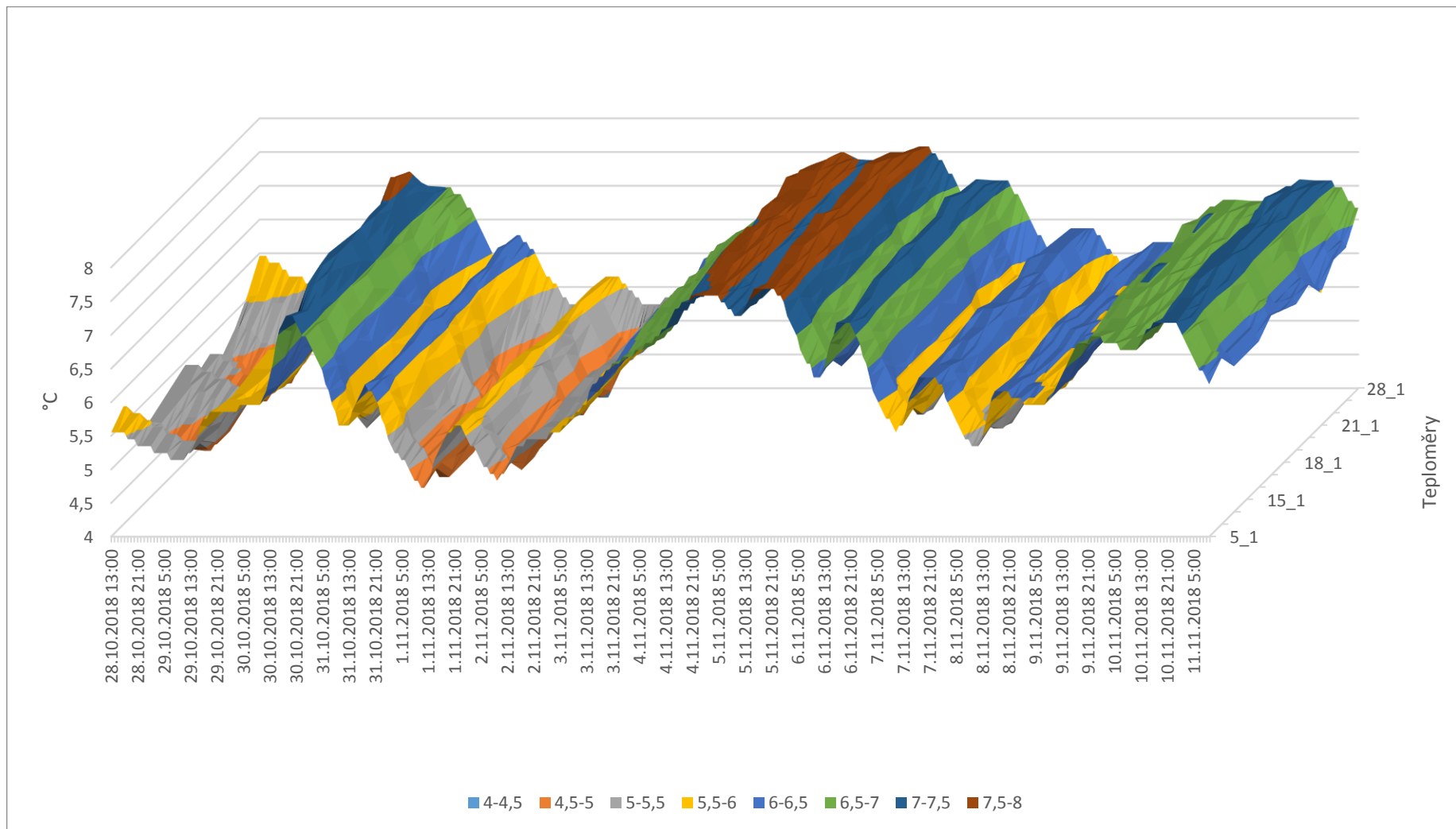
Měření	CON3	CON3_2	CON13	CON13_2	O <sub>2</sub> _3	O <sub>2</sub> _3_2	O <sub>2</sub> _13	O <sub>2</sub> _13_2
1	64,5	58,2	55,1	55,1	81,6	64,5	56,4	36,4
2	66,8	66,8	70,9	74,1	57,5	32,2	54,5	43,7
3	66,3	67,5	62,1	61,7	47,2	36	52,5	42,6
4	66,1	67	67,9	69	55,9	42	62,4	44,4
5	76,3	72,2	78,1	84,4	62,9	56,5	38,3	36,8
6	81,7	84	73,1	76,3	32,3	41	55,1	45,6
7	72,2	63,3	62,7	62,5	44	54,5	34	51,6
8	58,7	55,4	64,3	66,8	67,7	73	41,2	44,5
9	56,5	54	59,4	57,6	67,5	64,9	49,1	41,4
10	68,7	66,1	68,2	66,5	62,5	62	51,9	52,1
11	70	70,1	74,3	77,2	66,6	65,5	36,3	42,5
12	74,8	77,2	71,7	74,8	49	34,3	41,9	28,8
13	91,1	95,6	84,6	88,4	39,1	35,1	29,3	36,4
14	111,2	126,2	69,1	81,9	46,6	40,5	45,6	40,3
15	62,5	61,8	69,3	70,4	100,8	102,8	54,3	48,5
16	80	83,1	84,9	85,5	81,3	74,6	51	37,7
17	70,2	68,3	59,9	55,9	73	88,9	49,9	68,9
18	60,6	61,3	57,7	60,5	101,1	118,5	63,1	63,4
19	61,4	60,4	59,3	56,8	62,6	70,2	67,1	59,8
20	63,5	61	61,4	62,5	80,5	103,5	67,4	49,8
21	71,3	65,7	59,2	71,8	72,7	78,2	49,8	50,6
22		68		68,5		97,1		73,2
23		66,4		69,9		93		94,8
24		65,6		60,5		97,6		27,8
25		64,6		59,5		95,6		109,5
26		64,8		70,8		105,5		96,8
27		62,8		64,6		93		108,3
28		63,7		67,1		100,2		96,3

Příloha 9 Vstupní data pro porovnání 1. a 2. vzorku odebrané hyporeálové vody. Pro srovnání vzorků bylo použité měření 1-21. U měření 22-28 se z časových důvodů konduktivita a obsah kyslíku měřil pouze u 2. odebraného vzorku. Kyslík je uváděn v % a konduktivita v  $\mu\text{S}/\text{cm}$ .

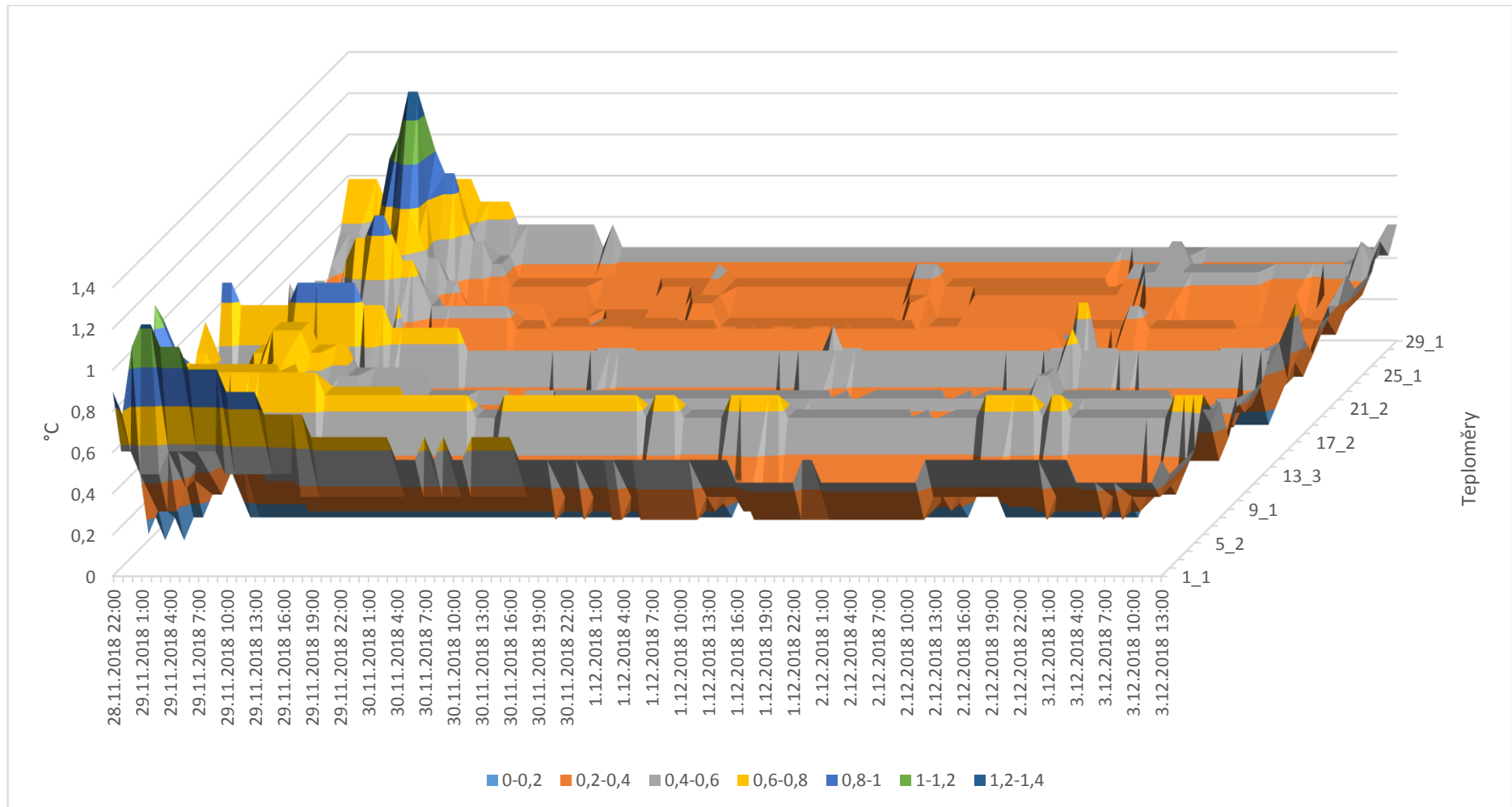




Příloha 10 Znáornění průběhu teplot u jednotlivých teploměřů v období od 28.10.-11.11.2018 v hloubce 3 cm.

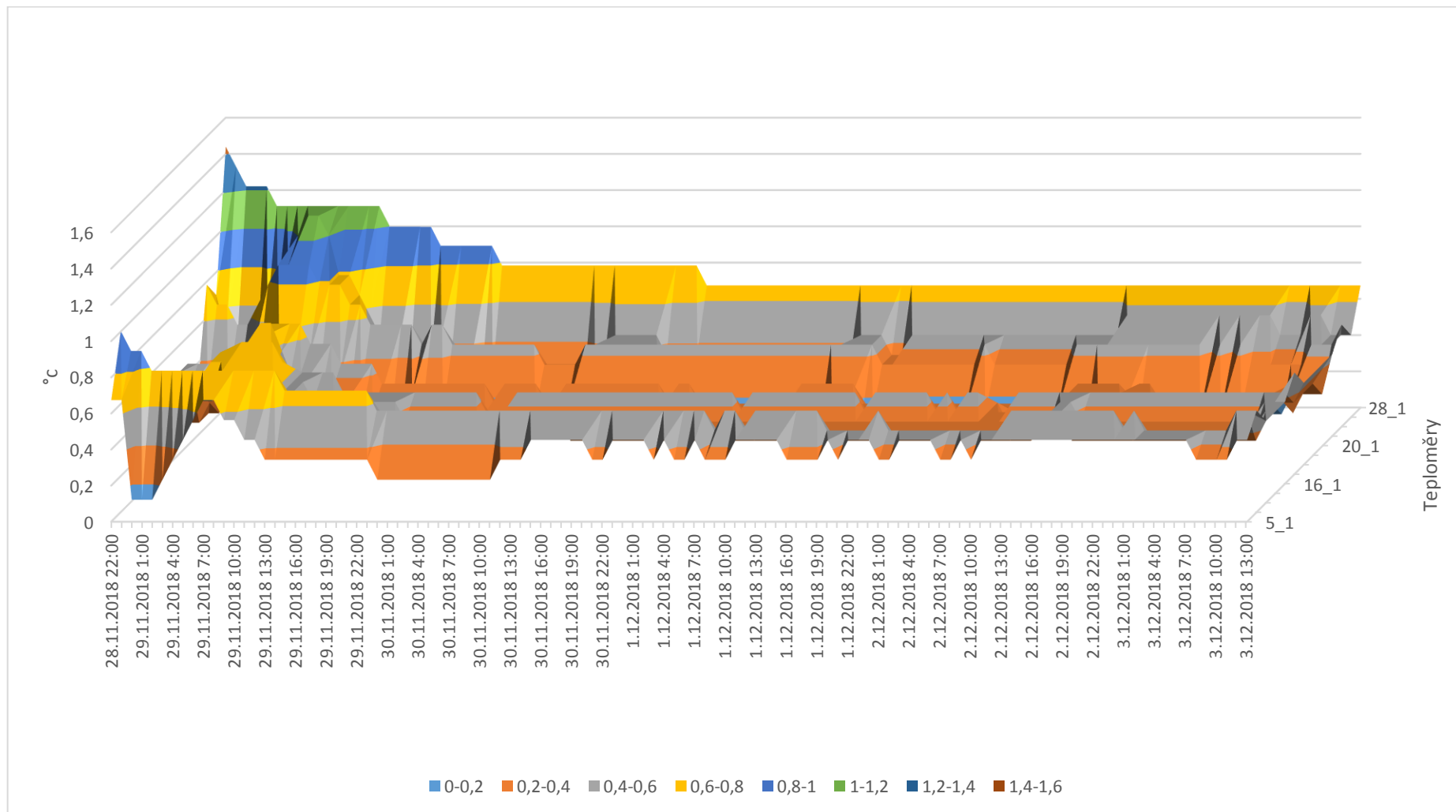


Příloha 11 Znáornění průběhu teplot u jednotlivých teploměřů v období od 28.10.-11.11.2018 v hloubce 13 cm.

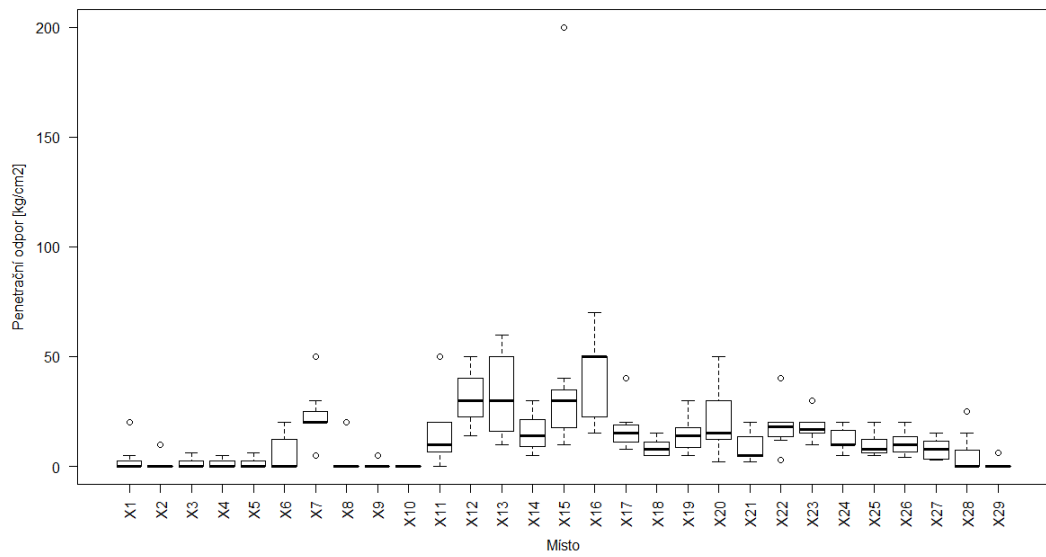


Příloha 12 Znáornění průběhu teplot u jednotlivých teploměřů v období od 28.11.-3.12.2018 v hloubce 3 cm.

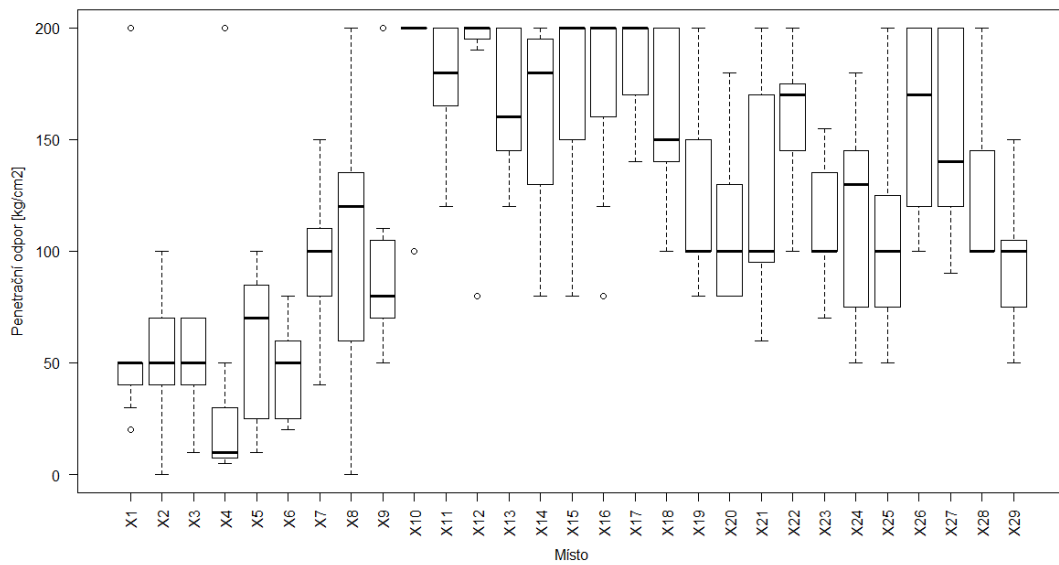




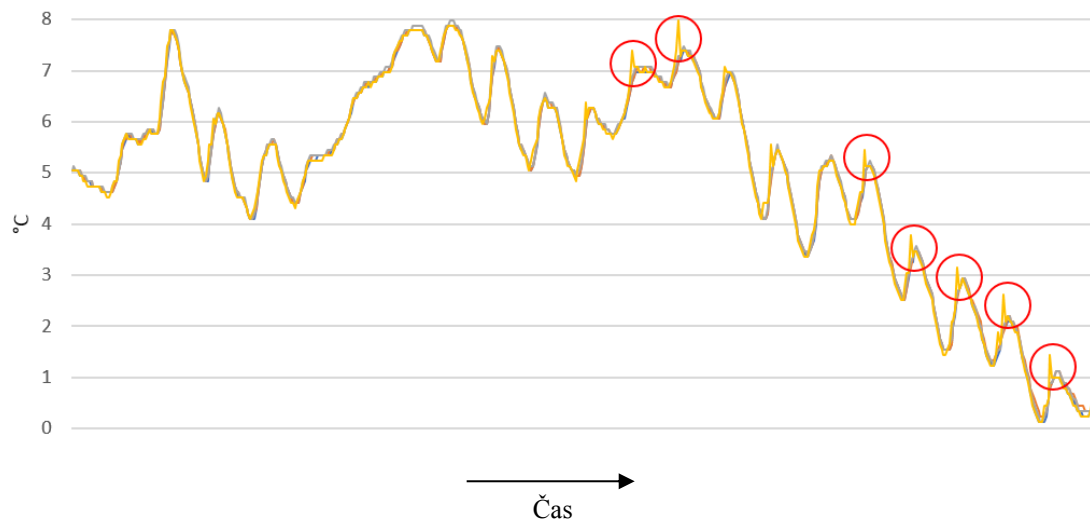
Příloha 13 Znáornění průběhu teplot u jednotlivých teploměřů v období od 28.11.-3.12.2018 v hloubce 13 cm.



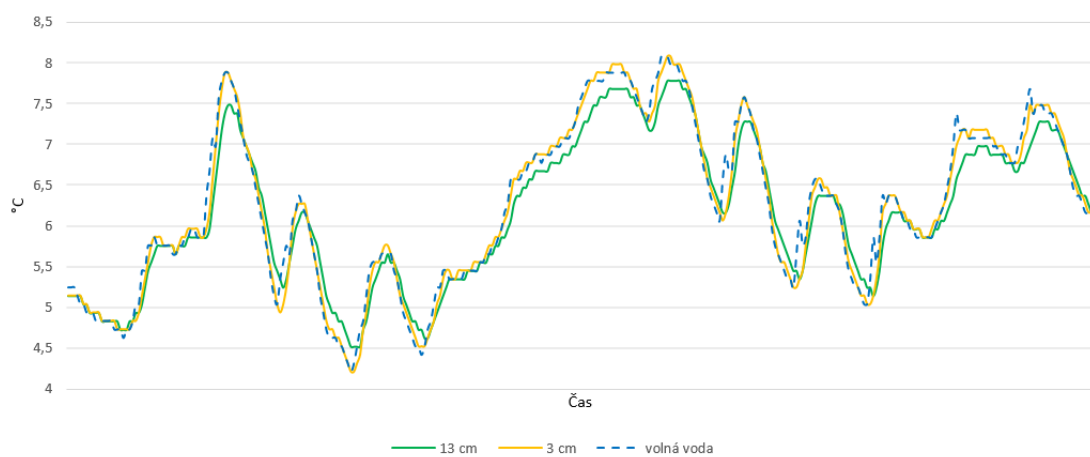
Příloha 14 Krabicové grafy penetračního odporu sedimentu dna ve 3 cm.



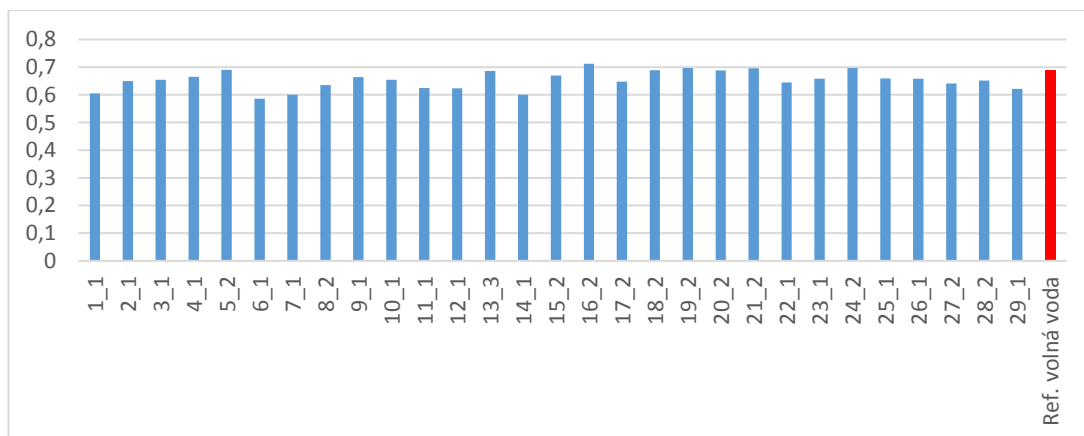
Příloha 15 Krabicové grafy penetračního odporu sedimentu dna ve 13 cm.



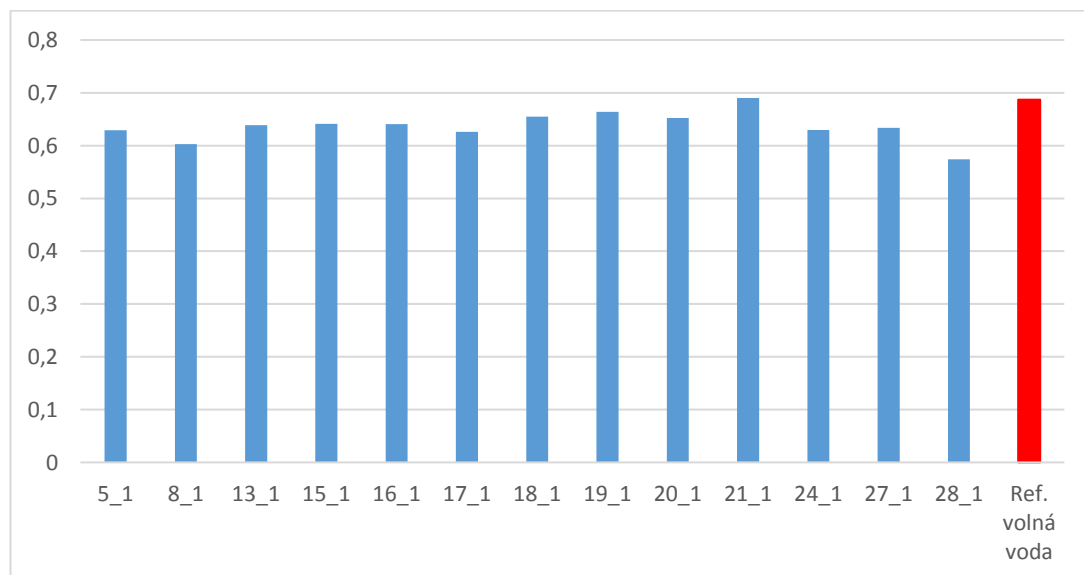
Příloha 16 Ukázka píku teploměru volné vody v sadě 21 (označeno červenými kroužky). Teploměry s těmito píky byly odstraněny pro vytvoření referenční volné vody.



Příloha 17 Ukázka průběhu teplot v období 28.10.-11.11.2018 u sady teploměrů 15.

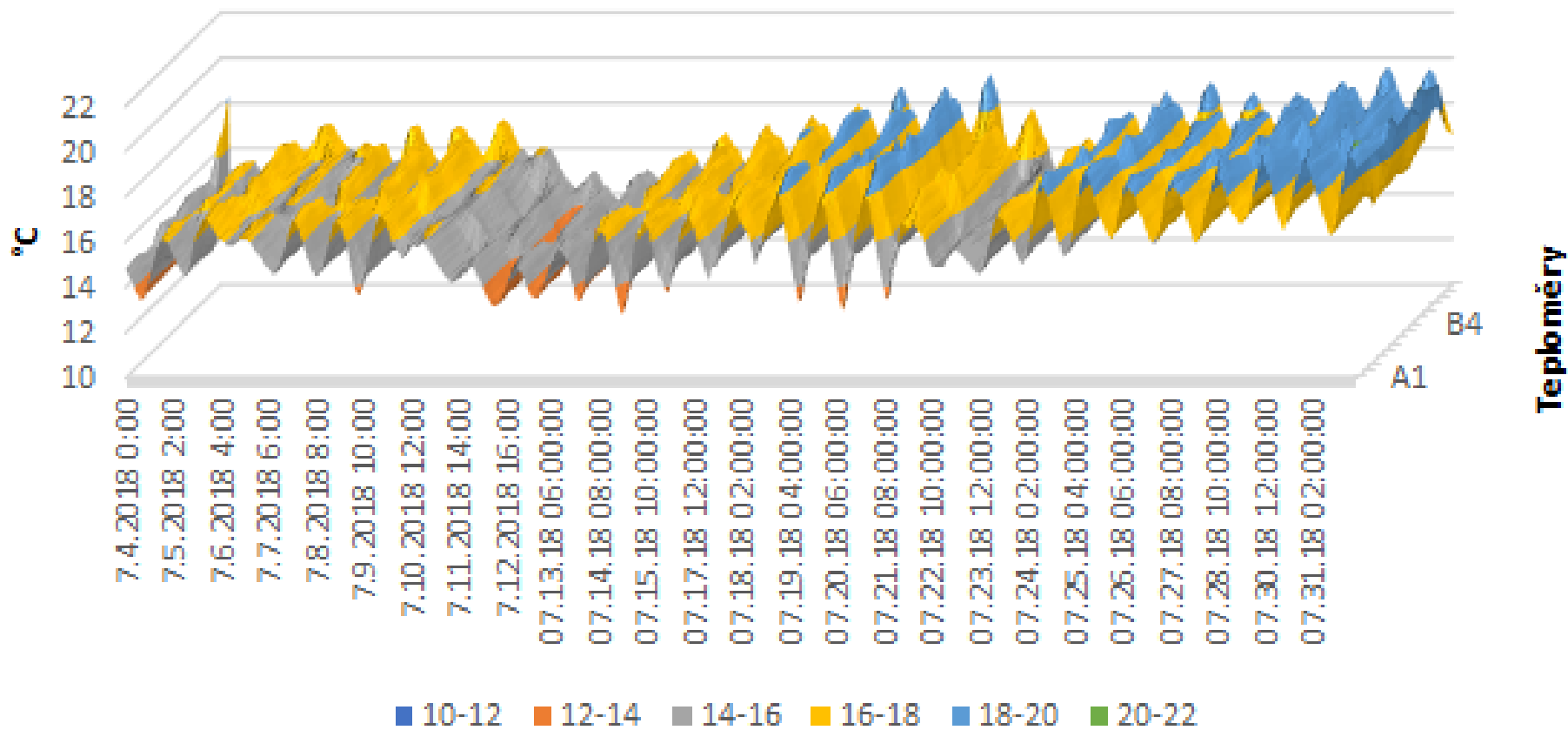


Příloha 18 Variační koeficienty hloubky 3 cm. Bližší hodnota k referenční volné vodě značí vyšší ovlivnění povrchovou vodou.

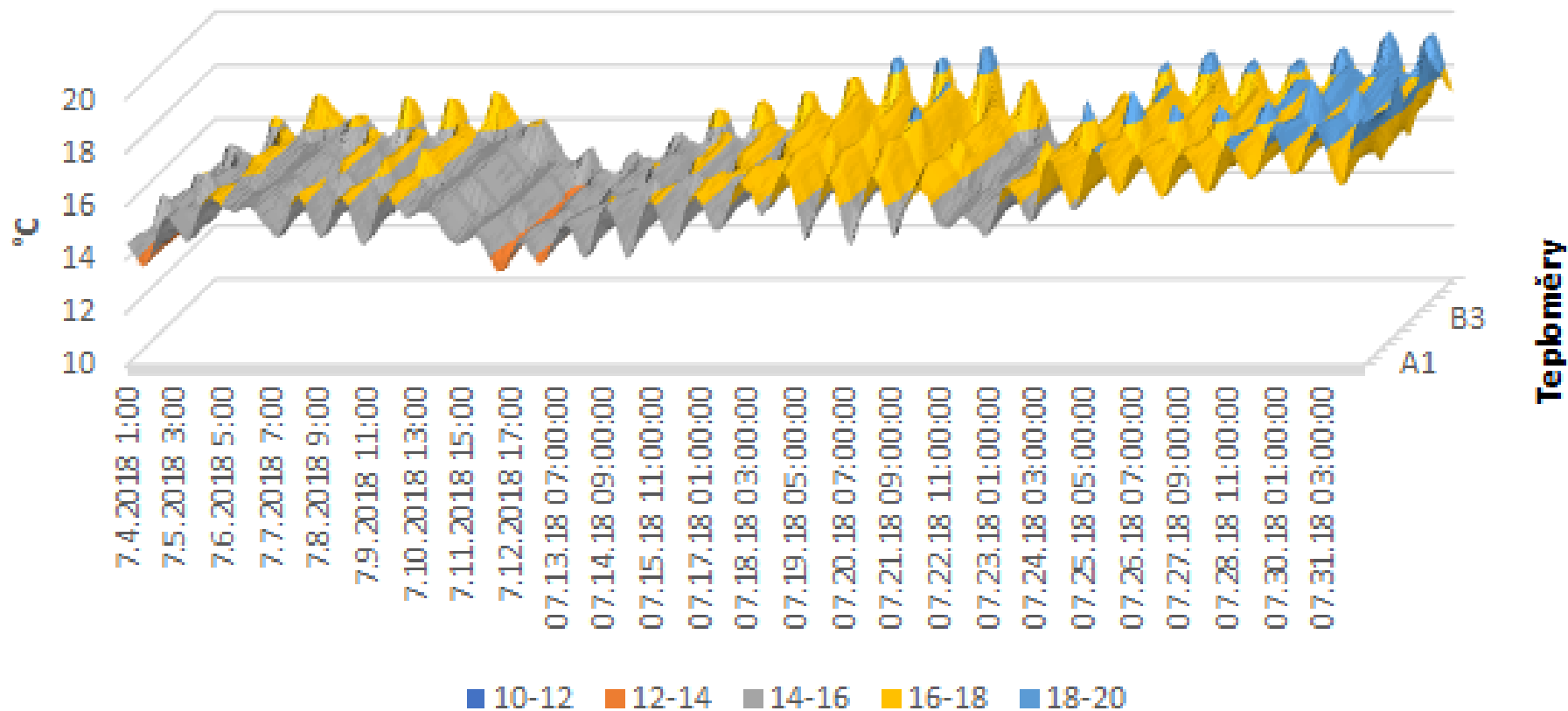


Příloha 19 Variační koeficienty hloubky 13 cm. Bližší hodnota k referenční volné vodě značí vyšší ovlivnění povrchovou vodou.





Příloha 20 Průběh teplot na Malši v Bifurkaci v období 4.7.-31.7.2018 v hloubce 3 cm.



Příloha 21 Průběh teplot na Malši v Bifurkace v období 4.7.-31.7.2018 v hloubce 13 cm.